

岩石材料への破壊力学の適用に関する考察

徳島大学工学部 正員 藤井清司
徳島大学大学院 学生員 藤井重造

まえがき 岩石材料の強度評価を行う際、その内部に潜在するき裂等の欠陥を無視することはできない。そこで、き裂の挙動を定量的に把握するために線形破壊力学を導入し、第1段階としてその適用性について考察を加えるために試験を行った。線形破壊力学は理想化した性質を対象とし線形弾性理論に基づくものであるが、そこでの試験の強度定数として用いられる応力拡大係数(Stress Intensity Factor: K)を適用し、特に開口型き裂形状に対するK値がよりK_{Ic}に焦点をしほり、他の形態による破壊力学試験と円柱式引張試験による破壊力学試験を行ったので、その結果について報告する。

試験片 使用した材料は普通モルタルとメントルTM、(1)細骨材の最大粒径が25mm、配合がC:S₂:W=1:2.00と、(2)細骨材の最大粒径が5.0mm、配合がC:S₂:W=1.3:0.5の2種類のセメントモルタルである。用いた試験用の試験片の形状を図1に示す。これは片側に先端を鋭くした繩状の切欠きを入れて单轴実験である。図2は正引張試験用の中央に切欠きを入れた円柱試験片の形状を示す。片側切欠き式試験片の寸法は、 $\lambda/W=1.0$ とし、 $\lambda/W=0.5$ と $B/W=0.25, 0.50, 0.75, 1.00$ の4種類と、 $E_c/W=0.5$ と $\lambda/W=0.1, 0.3, 0.5$ の3種類とする。円柱試験片の寸法は $ZW=10\text{ mm}$ 、 $L=20\text{ mm}$ と $a/W=0.3, 0.5$ の2種類である。(1)の配合のセメントモルタルの場合は、打設24時間後に脱型し、10日間の水中養生の後3日間室温で乾燥したものと、(2)の配合の場合は打設24時間後に脱型し、その後3日間室温で常温養生したものである。片側切欠き式試験片は(1)と(2)の両者の配合と、円柱試験片は(2)の配合と上記要領により作成する。(1)、(2)各自の材料への力学的特性を表1に示す。

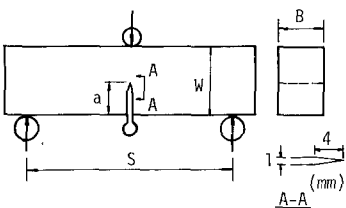


図1 片側切欠き梁試験片の形状 および
三点曲げ試験法

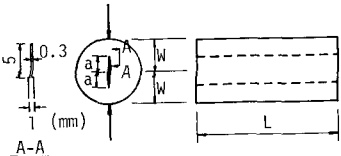


図2 中央き裂入り円柱試験片の形状
および正引張試験法

表1 使用セメントモルタルの力学的特性

	圧縮強度 $\sigma_c(\text{kg}/\text{cm}^2)$	引張強度 $\sigma_t(\text{kg}/\text{cm}^2)$	弹性係数 $E_c(\text{kg}/\text{cm}^2) \times 10^3$	ボアン比 ν
C:S ₂ :W=1:2:0.6 材令1週間	317	30.3	0.188	0.20
C:S ₂ :W=1:3:0.5 材令2週間	264	23.5	0.212	0.19

試験方法 片側切欠き梁の試験は図1のようない点曲げ試験で、スパン長さ $S=4W$ とし、中央載荷点には半20mmの鋼片を用いる。載荷にはスクリュージャッキ(最大載荷能力112t)を用い、荷重速度もほぼ一定(150kgf/mm²)を保つ。荷重変化はロードセル(容量500kgf)で測定する。き裂成長試験時ある量のき裂開口変位量(δ CD)の測定のために、き裂開口端にクリップ型変位計を設置し、また、梁中央点のたわみ量はカンチレバー型変位計を用いて測定する。両変位計とロードセルの出力はアンプで增幅し、X-Yレコーダーに自記せらる。円柱試験片の試験は図2のように、中央に入れられたき裂と同方向に荷重を載荷する正引張試験である。き裂開口変位量の測定は、き裂中央および先端位置に各々クリップ型開口変位計を設置し行う。変位計とロードセル(容量10t)の出力は、三点曲げ試験の場合と同様にアンプで增幅しX-Yレコード上に自記せらる。試験にはアムスラー型万能試験機(使用容量10t)を用い、荷重速度もほぼ一定(2t/min)を保つ。

試験結果およびK_{Ic}値の計算 本破壊力学試験より得られた荷重～き裂開口変位曲線の一例として、片側切欠き梁試験片の場合を図3に、中央き裂入り円柱試験片の場合を図4に示す。K_{Ic}値の計算には本来き裂進展開始時の荷重値を用いるべきであるが、セメントモルタルのように不均質なせい性材料ではその荷重値を明確に求め方がないため、今回は荷重～変位曲線より得られる最大荷重P_{max}を用いて計算する。片側切欠き梁に対するK_{Ic}値の

計算には、ASTMの破壊韧性試験に使われている次式の基礎方程式⁽¹⁾を用いる。

$$K_{IM} = \frac{P_F S}{B W^{3/2}} \left[29 \left(\frac{a}{W} \right)^{1/2} - 46 \left(\frac{a}{W} \right)^{3/2} + 21.8 \left(\frac{a}{W} \right)^{5/2} - 37.6 \left(\frac{a}{W} \right)^{7/2} + 38.7 \left(\frac{a}{W} \right)^{9/2} \right]$$

中央子裂入り円柱試験片に対する K_I 値は、Libatisku, Yamada⁽²⁾より次式を用いて計算する。

$$K_{IR} = \left\{ P_F \sqrt{\pi} \lambda / \pi W L + F(a/W) \right\} \quad (=\lambda) \quad F(a/W) \text{ は参考文献} \text{ } 3$$

内側切欠き第2点曲げ試験の結果を、板厚比 B/W で整理したのが図5である。これをみると、板厚比が大きくなるにつれて、 K_{IM} の値が全般的に板厚比に対する一定の依存性 $K_{IM} = 52.5 \text{ kg cm}^{-3/2}$ で収束する傾向がある。しかも、 K_{IM} 自体ははらつきも少しあり減少している。これらの試験片の破壊面を観察すると、板厚比が小さくなるにつれてせん断型の破壊の占める割合が増加していくのが比べて、板厚比の大きい $B/W=1.0$ では、その破面が半規形の脆型の破壊を形成しているのがわかる。また、(1)の材料とされ

たる工製寸法が大きくその数が多く、強度のはらつきの大きい(2)の材料を用いた内側切欠き梁の三点曲げ試験の結果を各々 a/W で整理したのが図6、図7である。 K_{IM} の値は a/W の変化にかかわらずほぼ一定して値を保たれ、それに対する板厚の相違の影響もみられない。一方、円柱試験片の圧縮引張試験の結果を a/W で整理したのが図8である。この場合も K_{IR} は a/W の変化の影響を受けて、三点曲げ試験よりさらに一定して値を示す。ただし、それ平均値 $K_{IR} = 13.1 \text{ kg cm}^{-1/2}$ は同種の材料で作成した内側切欠き梁の平均値 $K_{IM} = 52.5 \text{ kg cm}^{-3/2}$ と比べると異なり $K_{IR} < K_{IM}$ となる。以上の結果から、若干の修正を施すことをより、岩石材料への破壊力学の適用は十分に検討されるべきである。

最後に、実験の遂行およびデーター整理に対する本学卒業生加村好晴君(株東洋建設工業)、藤原博樹君(八雲建設コンサルタント)、多大な手を協力された諸君に感謝する。また、Hiroshi Tada, PC Paris⁽³⁾ and G.R. Irwin, "The Stress Analysis of Cracks Handbook", Del Research Corporation, 1973

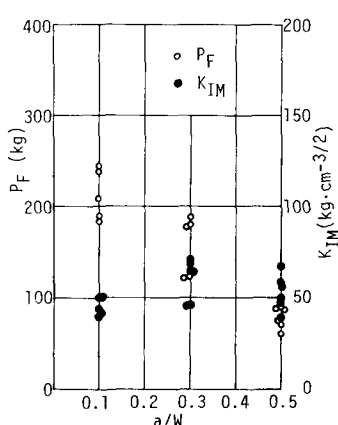


図6 片側切欠き梁の切欠き寸法変化に対する P_F と K_{IM} の比数($C:S_1:W=1:2:0.6$)

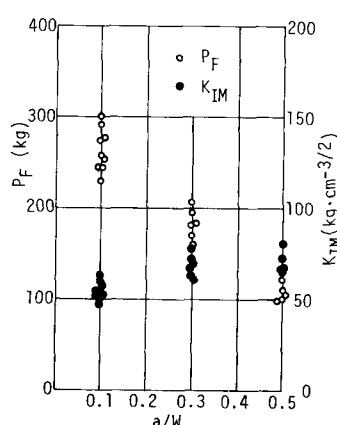


図7 片側切欠き梁の切欠き寸法変化に対する P_F と K_{IM} の比数($C:S_2:W=1:3:0.05$)

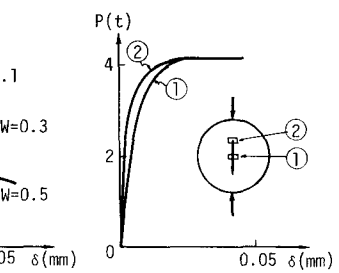


図8 中央子裂入り円柱の寸法変化に対する P_F と K_{IR} の比数($C:S_2:W=1:3:0.05$)